

СПЕКТРОСКОПИЯ МОЛЕКУЛ И МЕЖМОЛЕКУЛЯРНЫХ ВЗАЙМОДЕЙСТВИЙ В ГАЗАХ.  
ЭКСПЕРИМЕНТ И ТЕОРИЯ

УДК 539.194

М.-Р. Де Беккер-Барильи, А. Барб, Вл.Г. Тютерев

**Инфракрасный спектр  $^{16}\text{O}^{18}\text{O}^{16}\text{O}$  в районе 5 мкм.  
Центры и интенсивности линий и атмосферные приложения**

*Группа молекулярной спектроскопии атмосферы университета г. Реймс, Франция*

Поступила в редакцию 16.01.2003 г.

Проведено новое исследование поглощения различными изотопомерами молекулы озона, обогащенными  $^{18}\text{O}$ , в районе 2000–2250 см $^{-1}$ . В рассмотрение включены ранее отсутствовавшие экспериментальные данные для слабых полос  $2\nu_1$  (221 переход) и  $2\nu_3$  (414 переходов)  $^{16}\text{O}^{18}\text{O}^{16}\text{O}$ . В результате были определены параметры гамильтониана для трех взаимодействующих состояний (002), (101) и (200), которые обеспечили весьма хорошую точность восстановления центров линий (среднеквадратическое отклонение  $0,77 \cdot 10^{-3}$  см $^{-1}$ ). Кроме того, с использованием данных об относительных интенсивностях были найдены операторы момента перехода для полос  $\nu_1 + \nu_3$ ,  $2\nu_3$  и  $2\nu_1$ . Эти результаты позволяют получить полный набор колебательно-вращательных линий молекулы  $^{16}\text{O}^{18}\text{O}^{16}\text{O}$  в районе 5 мкм, который включен в банк данных S&MPO. Это представляет несомненный интерес с точки зрения атмосферных приложений, поскольку полоса  $\nu_1 + \nu_3$  изотопомера  $^{16}\text{O}^{18}\text{O}^{16}\text{O}$ , наблюдавшаяся в шар-зондовых или спутниковых спектрах, пересекается с сильной полосой  $\nu_3$  молекулы OCS, которая используется для получения атмосферной информации.

### Введение

В рамках систематического исследования инфракрасных спектров молекулы озона, включая ее изотопные модификации, недавно нами был опубликован анализ многочисленных полос молекулы  $^{16}\text{O}^{18}\text{O}^{16}\text{O}$  в интервале от 700 и 5000 см $^{-1}$  [1], но участок в районе 5 мкм, включающий полосу  $\nu_1 + \nu_3$ , остался неисследованным. Ранее эта полоса анализировалась в [2], но в то время не было экспериментальных данных для взаимодействующих с нею полос  $2\nu_1$  и  $2\nu_3$  и данные об интенсивностях линий также отсутствовали.

Сложность анализа спектров озона, обогащенного  $^{18}\text{O}$ , обусловлена в основном присутствием шести изотопомеров ( $^{16}\text{O}_3$ ,  $^{16}\text{O}^{16}\text{O}^{18}\text{O}$ ,  $^{16}\text{O}^{18}\text{O}^{16}\text{O}$ ,  $^{18}\text{O}^{18}\text{O}^{16}\text{O}$ ,  $^{18}\text{O}^{16}\text{O}^{18}\text{O}$  и  $^{18}\text{O}_3$ ), которое приводит к весьма сложной картине спектра. В соответствующем диапазоне энергий для каждого изотопомера присутствует по четыре взаимодействующих колебательных состояния: (002), (030), (101) и (200), которые образуют 24 колебательные полосы, и число наблюдаемых линий составляет примерно 10 000 на интервале 250 см $^{-1}$ .

Благодаря значительному опыту анализа спектров озона, который позволяет нам априори знать возможные резонансы и их последствия в перераспределении интенсивности, а также очень хорошему предсказанию центров полос [3–5] (с точностью выше 0,1 см $^{-1}$  в данном спектральном диапазоне) и вращательных постоянных [6, 7], нам удалось проинтерпретировать все наблюдаемые переходы для шести изотопных модификаций молекулы озона.

В данной статье мы представляем результаты анализа полос  $2\nu_3$ ,  $\nu_1 + \nu_3$  и  $2\nu_1$  изотопомера  $^{16}\text{O}^{18}\text{O}^{16}\text{O}$  как для центров колебательно-вращательных линий, так и для их интенсивностей. Данный анализ важен

для атмосферных приложений, поскольку линии этого изотопомера часто наблюдаются в атмосферных спектрах [8–10].

### Экспериментальная установка

Описание экспериментальной установки уже приводилось в наших статьях [11, 12], кроме того, соответствующая информация может быть найдена в Интернет-системе S&MPO («Спектроскопия и молекулярные свойства озона») [13–16], доступной на двух сайтах: <http://ozone.univ-reims.fr> и <http://ozone.iao.ru>. Поэтому в настоящей статье мы приводим только некоторые замечания, относящиеся непосредственно к данному анализу.

В наших предыдущих спектрах, зарегистрированных для всех изотопомеров [1, 17–19] с целью анализа области более высоких частот, произведение давления газа на длину кюветы  $p \times L = 10$  торр  $\times 32$  м было слишком велико для диапазона 2000–2150 см $^{-1}$ , поэтому большинство линий полосы  $\nu_1 + \nu_3$  были насыщенными. Затем мы записали новый набор спектров с длиной пути, равной 4 м. Напомним, что впервые этот спектральный диапазон исследовался [2] с помощью ячейки, длина которой равнялась всего 30 см. Список всех спектров, использовавшихся в данной работе, приведен в табл. 1. Как уже объяснялось в [17], в результате использования различных смесей сначала определялись переходы, принадлежащие молекулам  $^{16}\text{O}^{18}\text{O}^{16}\text{O}$  и  $^{16}\text{O}^{16}\text{O}^{18}\text{O}$  или  $^{16}\text{O}^{18}\text{O}^{18}\text{O}$  с  $^{18}\text{O}^{16}\text{O}^{18}\text{O}$ .

Калибровка спектров осуществлялась при помощи стандартных линий молекулы  $^{12}\text{C}^{16}\text{O}$  [20]. Центры этих линий определялись с использованием процедуры Peakfinder, являющейся частью нашей программы подгонки Multifit [21, 22], таким образом,

что точность для каждой линии составляла порядка  $3 \cdot 10^{-4}$  см $^{-1}$ . Программа Multifit использовалась также для нахождения интенсивностей полностью изолированных переходов, принадлежащих только изотопомеру  $^{16}\text{O}^{18}\text{O}^{16}\text{O}$ .

Таблица 1  
Экспериментальные условия регистрации спектров

Изотопомер	Спектр 1 ( $L = 31,186$ см)	Спектр 2 ( $L = 416,0$ см)	Спектр 3 ( $L = 3216,0$ см)
	Давление, торр		
$^{16}\text{O}_3$	3,76	5,40	14,55
$^{16}\text{O}^{16}\text{O}^{18}\text{O}$	3,37	3,69	7,06
$^{16}\text{O}^{18}\text{O}^{16}\text{O}$	1,68	1,85	3,53
$^{18}\text{O}^{18}\text{O}^{16}\text{O}$	1,53	1,26	1,71
$^{18}\text{O}^{16}\text{O}^{18}\text{O}$	0,76	0,63	0,85
$^{18}\text{O}_3$	0,36	0,22	0,21

## Анализ

Как уже отмечалось, для интерпретации линий молекулы  $^{16}\text{O}^{18}\text{O}^{16}\text{O}$  необходимо одновременно анализировать три других изотопомера:  $^{18}\text{O}^{16}\text{O}^{18}\text{O}$ ,  $^{16}\text{O}^{16}\text{O}^{18}\text{O}$  и  $^{18}\text{O}^{18}\text{O}^{16}\text{O}$ , поскольку спектры молекул  $^{16}\text{O}_3$  и  $^{18}\text{O}_3$  в этом диапазоне известны [16]. На основе обычной схемы полиад взаимодействующих состояний молекулы озона [23, 24] для изотопомеров симметрии  $C_{2v}$  ожидались следующие резонансы (см. ниже схему).



Кроме этого, состояние (030) может возмущать состояние (002) посредством ангармонического резонанса и состояние (101) посредством резонанса Кориолиса. Мы включали состояние (030) в рассмотрение только в тех случаях, когда соответствующие возмущения наблюдались в спектре.

Ситуация, наблюдаемая в случае изотопомеров симметрии  $C_s$ , еще более сложна, поскольку кроме уже упомянутых резонансов между всеми колебательными состояниями могут существовать и ангармонические резонансы. Эта проблема не касается анализа молекулы  $^{16}\text{O}^{18}\text{O}^{16}\text{O}$ , но она должна приниматься во внимание для корректной интерпретации переходов в молекуле  $^{16}\text{O}^{16}\text{O}^{18}\text{O}$ . Анализ триады {(002), (101), (200)} (или тетрады, включая состояние (030)) взаимодействующих состояний еще не полностью завершен для трех других смешанных изотопомеров, но уже позволяет нам вполне доверять результатам, полученным для  $^{16}\text{O}^{18}\text{O}^{16}\text{O}$ .

После интерпретации наиболее сильных линий других изотопомеров ( $^{16}\text{O}^{16}\text{O}^{18}\text{O}$ ,  $^{18}\text{O}^{18}\text{O}^{16}\text{O}$  и  $^{18}\text{O}^{16}\text{O}^{18}\text{O}$ ) мы сначала рассчитали переходы на основе начальных параметров триады {(002), (101), (200)}. Параметры гамильтониана состояния (101) и резонансные

параметры были взяты из [2]. Набор параметров был дополнен новыми экстраполированными значениями вращательных постоянных A, B и C для состояний (030), (002) и (200), а также значениями центров полос, предсказанными с помощью новой изотопически-инвариантной потенциальной функции молекулы озона [5]. Используя программу Multifit [20, 21], мы рассчитали синтетические спектры отдельно для каждого изотопомера или с учетом дополнительных вкладов. Это позволило нам четко определить полосу  $2\nu_3$  и начать интерпретацию колебательно-вращательного спектра. Интерпретация полосы  $2\nu_1$  оказалась более сложной, поскольку эта полоса очень слабая и почти полностью перекрыта сильными полосами  $\nu_1 + \nu_3$  молекул  $^{16}\text{O}^{16}\text{O}^{18}\text{O}$  и  $^{16}\text{O}^{16}\text{O}^{16}\text{O}$ . Нам удалось провести интерпретацию с использованием итерационной процедуры поочередного расчета и идентификации. Всего для трех полос было проинтерпретировано 1456 переходов. В табл. 2 приведены число зарегистрированных спектральных переходов и диапазон изменения

Таблица 2  
Число наблюдаемых переходов и диапазон изменения  
квантовых чисел

Параметр	(002)	(101)	(200)	Ссылка
$J_{\max}$	56	60	47	Данная работа
$J_{\max}$	—	43	—	[2]
$K_{a\max}$	17	18	12	Данная работа
$K_{a\max}$	—	13	—	[2]
Число переходов	414	821	221	Данная работа
ходов	—	353	—	[2]

их вращательных квантовых чисел в сравнении с соответствующими данными предыдущего анализа полосы  $\nu_1 + \nu_3$  [2]. Для линий, зарегистрированных в данном исследовании, не наблюдается значительных возмущений за счет возможного резонанса с состоянием (030), поэтому такое состояние не включалось в анализ для молекулы  $^{16}\text{O}^{18}\text{O}^{16}\text{O}$ .

Спектры линий описаны с помощью традиционно использующегося гамильтониана [25, 26]: диагональные колебательные блоки  $H^{VV}$  в уотсоновской форме [25]:

$$\begin{aligned} \langle V | H | V \rangle = E^{VV} + & \left[ A - \frac{1}{2} (B + C) \right] J_z^2 + \\ + & \frac{1}{2} (B + C) \mathbf{J}^2 + \frac{1}{2} (B - C) J_{xy}^2 - \Delta_K J_z^4 - \Delta_{JK} J_z^2 \mathbf{J}^2 - \\ - & \Delta_J (\mathbf{J}^2)^2 - \delta_K \{ J_z^2, J_{xy}^2 \} - 2\delta_J J_{xy}^2 \mathbf{J}^2 + H_K J_z^6 + \\ + & H_{KJ} J_z^4 \mathbf{J}^2 - H_{JK} J_z^2 (\mathbf{J}^2)^2 + H_J (\mathbf{J}^2)^3 + h_K \{ J_z^4, J_{xy}^2 \} + \\ + & h_{KJ} \{ J_z^2, J_{xy}^2 \} \mathbf{J}^2 + 2h_J J_{xy}^2 (\mathbf{J}^2)^2 + L_K J_z^8 \quad (1) \end{aligned}$$

со стандартными обозначениями [2]:  $\{A, B\} \equiv AB + BA$  и  $J_{xy}^2 \equiv J_x^2 - J_y^2$ .

Недиагональные блоки, описывающие резонансные взаимодействия, брались в том виде, как это описано в [26] и в наших предыдущих работах по информационной системе S&MPO [13–15]. Блоки взаимодействия Кориолиса в этом случае принимали форму [26]:

$$\begin{aligned}
\langle V | H_{\text{Coriolis}} | V' \rangle = & C_{001}(J_+ - J_-) + \\
& + C_{011}(J_+(J_z + 1/2) + (J_z + 1/2)J_-) + \\
& + C_{021}(J_+(J_z + 1/2)^2 - (J_z + 1/2)^2J_-) + \\
& + C_{201} \mathbf{J}^2 (J_+ - J_-) + C_{003}(J_+^3 - J_-^3) + \\
& + C_{031}(J_+(J_z + 1/2)^3 - (J_z + 1/2)^3J_-) + \\
& + C_{211} \mathbf{J}^2 (J_+(J_z + 1/2) + (J_z + 1/2)J_-) + \dots \quad (2)
\end{aligned}$$

и блоки ангармонического взаимодействия представлялись как

$$\begin{aligned}
\langle V' | H_{\text{Anharm}} | V \rangle = & F_{001} + F_{020} J_z^2 + \\
& + F_{002}(J_+^2 + J_-^2) + F_{200} \mathbf{J}^2 + \dots \quad (3)
\end{aligned}$$

Здесь  $J_{\pm} = J_x \pm (1/i) J_y$ .

Процедура обработки центров линий проводилась без весовых функций. В результате были получены параметры, приведенные в табл. 3 вместе со стандартными отклонениями (СО). Достигнута вполне удовлетворительная точность (среднеквадратическое отклонение (СКО)  $0,77 \cdot 10^{-3} \text{ см}^{-1}$ ). Статистика обработки приведена в табл. 4.

Напомним, что из-за ангармонического резонанса Дарлинга–Деннисона между состояниями (200) и (002) центры полос  $2\nu_1$  и  $2\nu_3$  не совпадают с диагональными колебательными матричными элементами  $E^{VV}$ , приведенными в табл. 3. В табл. 5 эти центры полос сравниваются с аналогичными данными предыдущего анализа из [2], где полосы  $2\nu_1$  и  $2\nu_3$  не наблюдались экспериментально, и с новыми предсказаниями [5], которые используют новую изотопически-инвариантную потенциальную функцию молекулы.

Таблица 3

**Спектроскопические параметры триады состояний {(002), (101), (200)}**

Параметр	(002)	CO	(101)	CO	(200)	CO
$E^{VV}$	1997,97645 <sub>5</sub>	0,00012	2049,367981 <sub>0</sub>	0,000086	2138,47721 <sub>6</sub>	0,00018
$A - (B + C)/2$	2,786897 <sub>4</sub>	0,000022	2,8293877 <sub>3</sub>	0,0000085	2,875470 <sub>0</sub>	0,000023
$(B + C)/2$	0,410909 <sub>5</sub>	0,000021	0,4122922 <sub>0</sub>	0,0000082	0,413866 <sub>8</sub>	0,000021
$(B - C)/2$	0,026816 <sub>5</sub>	0,000020	0,0265654 <sub>9</sub>	0,0000082	0,026525 <sub>5</sub>	0,000021
$\Delta_K \cdot 10^3$	0,175830 <sub>1</sub>	0,000012	0,182263 <sub>8</sub>	0,000036	0,188515 <sub>2</sub>	0,000045
$\Delta_{JK} \cdot 10^5$	-0,16896 <sub>1</sub>	0,00072	-0,13582 <sub>3</sub>	0,00081	g	
$\Delta_J \cdot 10^6$	0,44584 <sub>5</sub>	0,00040	0,46590 <sub>5</sub>	0,00039	0,46278 <sub>7</sub>	0,00075
$\delta_K \cdot 10^5$	0,2869 <sub>6</sub>	0,0043	0,2592 <sub>7</sub>	0,0027	0,4131 <sub>9</sub>	0,0038
$\delta_J \cdot 10^7$	0,8674 <sub>9</sub>	0,0024	0,7232 <sub>7</sub>	0,0021	0,6707 <sub>4</sub>	0,0033
$H_K \cdot 10^7$	g		0,30402 <sub>0</sub>	0,00084	g	
$H_{KJ} \cdot 10^8$	g		-0,1330 <sub>5</sub>	0,0033	g	
$H_{JK} \cdot 10^{10}$	g		g		g	
$H_J \cdot 10^{12}$	g		g		g	
$h_K \cdot 10^8$	g		g		g	
$h_{KJ} \cdot 10^{11}$	g		g		g	
$h_J \cdot 10^{12}$	g		g		g	

**Параметры резонансного взаимодействия**

Параметр	$\langle 101   H   002 \rangle$		$\langle 101   H   200 \rangle$	
	Значение	CO	Значение	CO
$C_{001}$	-0,2828 <sub>4</sub>	0,0014	0,2959 <sub>2</sub>	0,0011
$C_{011}$	-0,01303 <sub>3</sub>	0,00010	-0,013720 <sub>6</sub>	0,000069
$C_{211} \cdot 10^6$	-0,2528 <sub>5</sub>	0,0028		
$C_{003} \cdot 10^7$	-0,638 <sub>1</sub>	0,086		
	$\langle 200   H   002 \rangle$			
$F_{000}$	-26,8 [32]		-	

Примечание. Значение параметра g фиксировалось равным значению для основного состояния [32]. Все значения приведены в  $\text{cm}^{-1}$ .

Таблица 4

**Статистика обработки центров линий**

Колебательное состояние	СКО, $\cdot 10^3 \text{ см}^{-1}$	$\delta E =  E^{\text{obs}} - E^{\text{calc}} $	Процент линий от общего количества
(002)	0,92	$\delta E < 0,5 \cdot 10^{-3} \text{ см}^{-1}$ $0,5 \cdot 10^{-3} \text{ см}^{-1} \leq \delta E < 1 \cdot 10^{-3} \text{ см}^{-1}$ $1 \cdot 10^{-3} \text{ см}^{-1} \leq \delta E < 2 \cdot 10^{-3} \text{ см}^{-1}$ $2 \cdot 10^{-3} \text{ см}^{-1} \leq \delta E < 3 \cdot 10^{-3} \text{ см}^{-1}$ $3 \cdot 10^{-3} \text{ см}^{-1} \leq \delta E < \delta E_{\text{max}}$ $\delta E_{\text{max}} = 4,1 \cdot 10^{-3} \text{ см}^{-1}$	48,6 25,6 22,9 2,4 0,5

Окончание табл. 4

Колебательное состояние	СКО, $\cdot 10^3 \text{ см}^{-1}$	$\delta E =  E^{\text{obs}} - E^{\text{calc}} $	Процент линий от общего количества
(101)	0,67	$\delta E < 0,5 \cdot 10^{-3} \text{ см}^{-1}$	69,8
		$0,5 \cdot 10^{-3} \text{ см}^{-1} \leq \delta E < 1 \cdot 10^{-3} \text{ см}^{-1}$	20,3
		$1 \cdot 10^{-3} \text{ см}^{-1} \leq \delta E < 2 \cdot 10^{-3} \text{ см}^{-1}$	8,6
		$2 \cdot 10^{-3} \text{ см}^{-1} \leq \delta E < 3 \cdot 10^{-3} \text{ см}^{-1}$	1,0
		$3 \cdot 10^{-3} \text{ см}^{-1} \leq \delta E < \delta E_{\text{max}}$	0,3
		$\delta E_{\text{max}} = 5,9 \cdot 10^{-3} \text{ см}^{-1}$	
(200)	0,85	$\delta E < 0,5 \cdot 10^{-3} \text{ см}^{-1}$	55,7
		$0,5 \cdot 10^{-3} \text{ см}^{-1} \leq \delta E < 1 \cdot 10^{-3} \text{ см}^{-1}$	27,1
		$1 \cdot 10^{-3} \text{ см}^{-1} \leq \delta E < 2 \cdot 10^{-3} \text{ см}^{-1}$	14,5
		$2 \cdot 10^{-3} \text{ см}^{-1} \leq \delta E < 3 \cdot 10^{-3} \text{ см}^{-1}$	1,8
		$3 \cdot 10^{-3} \text{ см}^{-1} \leq \delta E < \delta E_{\text{max}}$	0,9
		$\delta E_{\text{max}} = 4,8 \cdot 10^{-3} \text{ см}^{-1}$	

Таблица 5

## Сравнение экспериментальных и предсказанных центров полос

Полоса	Предсказание [5]	Эксперимент (данная работа)	Разница, $\text{см}^{-1}$	Предыдущее определение [2]	[2] – [5]
$2v_3$	1993,024	1993,038 <sub>0</sub>	+0,014	1994,311*	-1,287
$v_1 + v_3$	2049,375	2049,368 <sub>0</sub>	-0,007	2049,369	-0,006
$2v_1$	2143,616	2143,415 <sub>6</sub>	-0,200	2140,326*	+3,290

П р и м е ч а н и е . «Темные» состояния, помеченные звездочкой, не наблюдались экспериментально в [2]. Глобальные предсказания, приведенные в [5], были получены с использованием изотопически-инвариантной потенциальной функции молекулы.

## Интенсивности

Здесь нам придется столкнуться с проблемами определения количества изотопомера  $^{16}\text{O}^{18}\text{O}^{16}\text{O}$  в различных ячейках. Чтобы найти содержание различных изотопических модификаций молекулы озона, мы пользовались статистикой, основанной на содержании атомов О в различных смесях молекулярного кислорода  $\text{O}_2$ . В настоящее время хорошо известно, что это предположение ведет к разногласию [27, 28 и ссылки в них], хотя максимальная ошибка не превышает 6% в случае молекул симметрии  $C_{2v}$  [29, 30 и ссылки в них]. В этом случае понятно, что мы находим «относительные интенсивности», которые хорошо описывают наблюдаемые лабораторные спек-

ты и интерпретируем переходы в атмосферных спектрах, но требуются дополнительные исследования, чтобы определить абсолютное содержание изотопомера в стратосфере и затем судить о его содержании в атмосфере.

Как уже объяснялось, из-за большого числа перекрывающихся переходов для каждого изотопомера для измерений интенсивности мы использовали выборку, состоящую из 223 наилучших переходов. Эти полностью изолированные линии выбирались с помощью программы Multifit [21, 22] путем сравнения трех спектров (рис. 1): экспериментально зарегистрированного спектра, расчетного спектра для всех изотопомеров, поглощающих в рассматриваемом спектральном диапазоне, и расчетного спектра  $^{16}\text{O}^{18}\text{O}^{16}\text{O}$ .

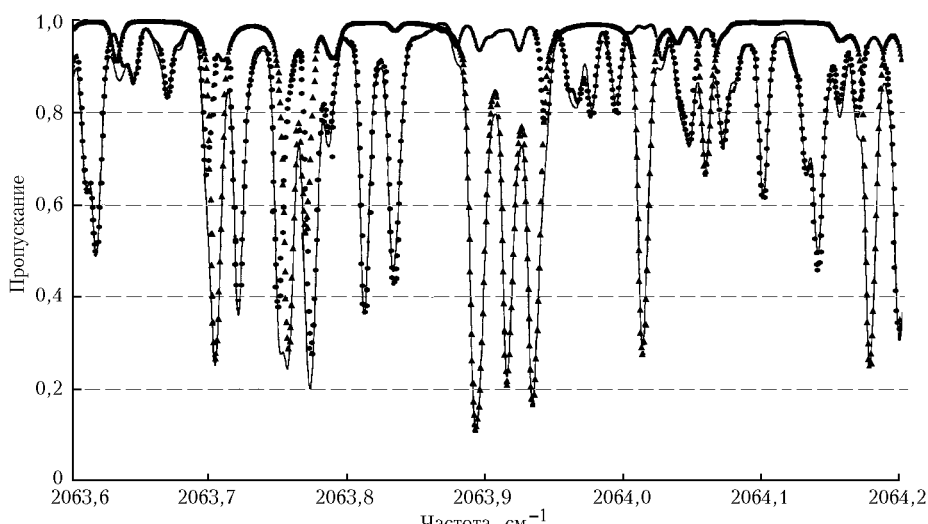


Рис. 1. Вклад различных изотопомеров в наблюдаемый спектр в районе  $2064 \text{ см}^{-1}$ : сплошная линия — эксперимент; точки — вклад изотопомеров  $^{16}\text{O}_3$ ,  $^{16}\text{O}^{16}\text{O}^{18}\text{O}$ ,  $^{18}\text{O}^{18}\text{O}^{16}\text{O}$ ,  $^{18}\text{O}^{16}\text{O}^{18}\text{O}$  и  $^{18}\text{O}_3$ ; треугольники — вклад изотопомера  $^{16}\text{O}^{18}\text{O}^{16}\text{O}$

Инфракрасный спектр  $^{16}\text{O}^{18}\text{O}^{16}\text{O}$  в районе 5 мкм.

Экспериментальные интенсивности определялись с помощью процедуры одновременной обработки нескольких спектров. Полученные интенсивности моделировались путем подгонки параметров оператора момента перехода [31], разложенного в ряд по степеням элементарных вращательных операторов:

Для полосы типа А

$$(000)(101) \tilde{\mu}_z = d_1 \varphi_z + d_2 \{ \varphi_z, \mathbf{J}^2 \} + d_3 \{ \varphi_z, J_z^2 \} + \\ + d_4 1/2 [\{ \varphi_x, iJ_y \} - \{ i\varphi_y, J_x \}] + \\ + d_5 1/2 [\{ \varphi_x, \{ J_x, J_z \} \} - \{ i\varphi_y, i\{ J_y, J_z \} \}] + \\ + d_6 1/2 [\{ \varphi_x, iJ_y \} + \{ i\varphi_y, J_x \}] + d_7 [\{ \varphi_x, \{ J_x, J_z \} \} + \\ + \{ i\varphi_y, i\{ J_y, J_z \} \}] + d_8 \{ \varphi_z, J_{xy}^2 \}. \quad (4)$$

Для полосы типа В

$$(000)(200) \tilde{\mu}_z = d_1 \varphi_x + d_2 \{ \varphi_x, \mathbf{J}^2 \} + d_3 \{ \varphi_x, J_z^2 \} + \\ + d_4 \{ i\varphi_y, J_z \} + d_5 \{ \varphi_z, iJ_y \} + d_6 \{ \varphi_z, \{ J_x, J_z \} \} + \\ + d_7 1/2 [\{ \varphi_x, J_{xy}^2 \} + \{ i\varphi_y, i\{ J_x, J_z \} \}]. \quad (5)$$

В табл. 6 приводятся параметры операторов момента перехода и статистика для них.

Рис. 2 демонстрирует согласие между экспериментальным и расчетным спектрами. Линии, помеченные звездочкой, соответствуют молекуле  $^{16}\text{O}^{18}\text{O}^{16}\text{O}$ .

## Атмосферные приложения

Всего было зарегистрировано 1456 переходов, относящихся к взаимодействующим полосам  $2v_3$ ,  $v_1 + v_3$  и  $2v_1$  молекулы  $^{16}\text{O}^{18}\text{O}^{16}\text{O}$ . Впервые зарегистрированные слабые полосы  $2v_1$  и  $2v_3$  позволили провести высокоточное определение параметров гамильтониана в обычной схеме полиад взаимодействующих состояний [16, 23, 24].

Используя параметры гамильтониана (см. табл. 3) и параметры операторов момента перехода (табл. 6), мы рассчитали линии всех переходов для трех полос  $2v_3$ ,  $v_1 + v_3$  и  $2v_1$ . Расчет проводился до вращательных чисел  $J = 65$  и  $K_a = 20$  с нижним пределом по интенсивности, равным  $0,3 \cdot 10^{-25} \text{ см}^{-1}/(\text{молек} \cdot \text{см}^{-2})$  при  $T = 296 \text{ К}$ . Статическая сумма  $Z$  (296 К) в расчетах равнялась 3599. Интегральные интенсивности полос составили  $S(2v_3) = 7,61 \cdot 10^{-20}$ ,  $S(v_1 + v_3) = 1,14 \cdot 10^{-18}$ ,  $S(2v_1) = 1,99 \cdot 10^{-20}$ ,  $\text{см}^{-1}/(\text{молек} \cdot \text{см}^{-2})$  при  $T = 296 \text{ К}$ . Список линий скоро появится на сайте S&MPO [16] в форме, пригодной для непосредственного использования в атмосферных приложениях. Следует отметить, что с практической точки зрения важно знать поглощение изотопомера  $^{16}\text{O}^{18}\text{O}^{16}\text{O}$ , поскольку он поглощает в районе полосы  $v_3$  молекулы OCS, которая обычно используется для нахождения концентрации OCS в атмосфере.

Таблица 6

Параметры момента перехода (Д) и статистика обработки интенсивностей линий

Оператор	Параметр	Значение	Статистика*	
			Отклонение, %	Число интенсивностей
$\varphi_x$	$d_1$	Полоса $2v_3$ $(0,770_3 \pm 0,014) \cdot 10^{-2}$	$\delta I/I < 2$	119 (53,4%)
	$d_1$	Полоса $2v_1$ $(-0,1037_2 \pm 0,0042) \cdot 10^{-2}$	$2 \leq \delta I/I < 4$	80 (35,9%)
	$d_1$	Полоса $v_1 + v_3$ $(0,38152_6 \pm 0,00054) \cdot 10^{-1}$	$4 \leq \delta I/I < 6$	20 (8,9%)
$1/2 [\{ \varphi_x, iJ_y \} + \{ i\varphi_y, J_x \}]$	$d_6$	$(0,181_4 \pm 0,055) \cdot 10^{-4}$	$6 \leq \delta I/I \leq 7,4$	4 (1,8%)

Примечание. \*  $\delta I/I = | \text{эксп.} - \text{расч.} | / \text{расч.}$  ( $I$  – интенсивность линии;  $\delta I$  – экспериментальная ошибка определения интенсивности); СКО = 5,9%.

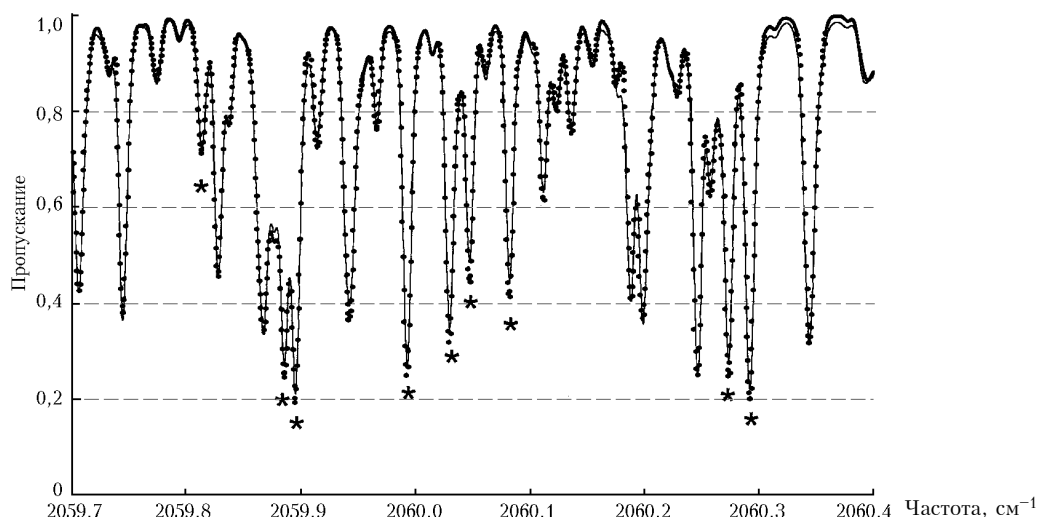


Рис. 2. Пример окончательной разницы эксп. – расч. для пропускания в районе  $2060 \text{ см}^{-1}$ : сплошная линия – эксперимент; точки – расчет

1. M.-R. De Backer-Barilly, A. Barbe, Vl.G. Tyuterev, A. Chichery, M.-T. Bourgeois, J. Mol. Spectrosc. **216**, 454–464 (2002).
2. J.-M. Flaud, M.-T. Bourgeois, A. Barbe, J.-J. Plateaux, C. Camy-Peyret, J. Mol. Spectrosc. **165**, 464–469 (1994).
3. Vl.G. Tyuterev, S.A. Taskhun, P. Jensen, A. Barbe, T. Cours, J. Mol. Spectrosc. **198**, 57–76 (1999).
4. Vl.G. Tyuterev, S.A. Taskhun, D.W. Schwenke, P. Jensen, T. Cours, A. Barbe, M. Jacon, Chem. Phys. Lett. **316**, 271–279 (2000).
5. Vl.G. Tyuterev, S.A. Taskhun, D.W. Schwenke, and A. Barbe, in preparation (2003).
6. A. Barbe, A. Chichery, T. Cours, Vl.G. Tyuterev, J.J. Plateaux, J. Mol. Structure, in press (2002).
7. A. Chichery, Thesis, Université de Reims, France (2000).
8. D.W. Arlander, A. Barbe, M.-T. Bourgeois, A. Hamdouni, J.-M. Flaud, C. Camy-Peyret, Ph. Demoulin, J. Quant. Spectrosc. Radiat. Transfer, **52**, 267–271 (1994).
9. A. Goldman, F.J. Murcray, D.G. Murcray, J.J. Kosters, C.P. Rinsland, J.-M. Flaud, C. Camy-Peyret and A. Barbe, J. Geophys. Research, **94**, 8467 (1989).
10. G. Toon, Private communication.
11. J.-J. Plateaux, A. Barbe, A. Delahaigue, Spectrochimica Acta **51A**, N 7, 1153–1169 (1995).
12. L. Régalia, Thesis, Université de Reims, France (1996).
13. Vl.G. Tyuterev, A. Barbe, Yu.L. Babikov, S.N. Mikhailyenko, XVII-th Colloquium on High Resolution Molecular Spectroscopy, paper **F28**, Nijmegen (2001).
14. Михайленко С.Н., Бабиков Ю.Л., Тютерев Вл.Г., Барб А. // Конференция МОДАС, статья **05.1**, Иркутск, 2001.
15. A. Barbe, S.N. Mikhailyenko, Vl.G. Tyuterev, Yu.L. Babikov, HITRAN Conference, Boston, June (2002).
16. <http://ozone.univ-reims.fr> and <http://ozone.iao.ru>
17. A. Chichery, A. Barbe, Vl. G. Tyuterev, S. Taskhun, J. Mol. Spectrosc. **205**, 347–349 (2001).
18. A. Chichery, A. Barbe, Vl. G. Tyuterev, M.-T. Bourgeois, J. Mol. Spectrosc. **206**, 1–13 (2001).
19. A. Chichery, A. Barbe, Vl.G. Tyuterev, J. Mol. Spectrosc. **206**, 14–26 (2001).
20. A.G. Maki and J.S. Wells, NIST Special Publications, (1991).
21. J.-J. Plateaux, L. Régalia, C. Boussin, A. Barbe, J. Quant. Spectrosc. Radiat. Transfer **68**, 507–520 (2001).
22. C. Boussin, B. Lutz, A. Hamdouni, C. de Bergh, J. Quant. Spectrosc. Radiat. Transfer **63**, 49–84 (1999).
23. J.-M. Flaud, R. Bacis, Spectrochimica Acta **54A**, 3–16 (1998).
24. Михайленко С.Н., Барб А., Тютерев Вл.Г. и Шишиери А. ИК-спектры высокого разрешения молекулы озона // Оптика атмосф. и океана. 1999. Т. 12. № 9. С. 803–818.
25. J.K. G. Watson, J. Chem. Phys. **46**, 4189–4196 (1967).
26. V.I. Perevalov, and Vl. G. Tyuterev, Opt. Spectrosc. **52**, 644–650 (1982).
27. F. Robert and C. Camy-Peyret, Annales Geophysicae, **19**, 229–244 (2001).
28. K. Mauersberger, Geophys. Res. Lett. **8**, 935 (1981).
29. L.K. Christensen, N.W. Larsen, F.M. Nicolaisen, T. Pedersen, G.O. Sorensen and H. Egsgaard, J. Mol. Spectrosc. **175**, 220–233 (1996).
30. R.W. Larsen, N.W. Larsen, F.M. Nicolaisen, G.O. Sorensen, J.A. Beukes, Private communication.
31. O.N. Sulakshina, Yu.G. Borkov, Vl.G. Tyuterev, A. Barbe, J. Chem. Phys. **113**, 10572–10582 (2000).
32. J.-M. Flaud, C. Camy-Peyret, A.N'Com, V. Malathy Devi, C.P. Rinsland, M.A.H. Smith, J. Mol. Spectrosc. **133**, 217–223 (1989).

*M.-R. De Backer-Barilly, A. Barbe, Vl. G. Tyuterev. Infrared spectrum of  $^{16}\text{O}^{18}\text{O}^{16}\text{O}$  in the 5  $\mu\text{m}$  range. Positions, intensities and atmospheric applications.*

The absorption of various  $^{18}\text{O}$  enriched isotopomers of ozone has been reinvestigated in the 2000–2250  $\text{cm}^{-1}$  spectral range. This work allowed first observation  $2\nu_1$  (221 transitions) and  $2\nu_3$  (414 transitions) weak bands of  $^{16}\text{O}^{18}\text{O}^{16}\text{O}$ . The determination of the Hamiltonian parameters for the three (002), (101), (200) interacting states and a very satisfactorily r.m.s. ( $0.77 \cdot 10^{-3} \text{ cm}^{-1}$ ) for line positions is reported. In addition, relative intensities, measured for the three bands lead to transition moment operators. Both results allowed us to obtain a complete list of  $^{16}\text{O}^{18}\text{O}^{16}\text{O}$  lines, which are included in S&MPO bank. This is of direct interest for atmospheric applications, as the  $\nu_1 + \nu_3$  band of the  $^{16}\text{O}^{18}\text{O}^{16}\text{O}$  isotopomer, clearly observed in balloon or satellites spectra, interferes with the strong  $\nu_3$  band of OCS, used for atmospheric retrieval.